

日本鉄道建設公団札幌支社 正員 ○重松 右

〃 藤森房司

1. まえがき

日本鉄道建設公団が北海道で建設中の紅葉山線新豊川トンネルは、全長5,800mのほゞ中央部に、1,300mの長さにわたって蛇紋岩地帯をつらぬく事となった。そこで昭和41年より新豊川トンネル上部の蛇紋岩中に試験坑を掘削した。試験坑は先ず図-1に示す断面で200mを掘進し、ついで最も地質の悪い所で分歧して図-1に示す特1号断面を掘削し在来の二重巻工法と新しい吹付コンクリート工法とを施工し支保工の応力を測定した結果、吹付コンクリートが膨張性地質に対してより適した覆工であることが判明した。

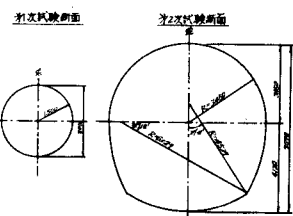


図-1

2. 試験概要

試験は図-2に示す概要で行なわれた。オ1、オ2ブロックとも、支保工はH150×150を1.0mピッチに挿入し掛矢板を行った。オ3ブロックの吹付試験区間ではH125×125を0.8mピッチで挿入したが、ここで矢板、ワセビ等は一切使用せず発破後、地山素掘面を整形した後、内張とタイロットのみで支保工を固定し直接地山にコンクリート吹付けを行った。

応力分布	断面積行部		
	H125	H150	H125
20m	14m	9m	7m
	4.3 3.5	5.8 5	4.88
	1.1	1.1	1.1

支保工	H125		
	H150	H125	H125
掘削距離	100cm		80
掘削厚	40cm	45cm	30cm
施工法	全断面(脱爆)爆破工法	2段式(脱爆)爆破工法(半爆)	地山の爆破(脱爆)爆破工法
研究	施工の可否	地山の爆破(脱爆)爆破工法	地山の爆破(脱爆)爆破工法
被覆材	表面被覆(脱爆)爆破工法	表面被覆(脱爆)爆破工法	表面被覆(脱爆)爆破工法
被覆材	工場試験観察	2.5m走進地山試験	地山試験

図-2

3. 蛇紋岩の特性

蛇紋岩は原岩石(かんらん岩、はんれい岩)が地殻変動の際に強压、強せん断を受け、その原岩の結晶組成が破壊され変質を受けて出来たもので膨張性と剥離性がある。本試験坑の蛇紋岩は全体としてやや粘土化した葉片状のもので、水や僅かの加圧によって変形し崩れやすい。中には大小の塊状蛇紋岩の玉石を含み、時間と共に岩質そのものが変化し亀甲状の細い亀裂が入って弱くなっている。塊状玉石が周辺の葉片状部分から抜け出して來たり葉片状の部分もまた時間と共に坑道の内空断面を縮小する方向に押出して来る性質のもので、この押出量は葉片状蛇紋岩の箇所で掘削後約60日で70~160mmに達する。又葉片状蛇紋岩の弾性波速度は約2400/secで地山載荷試験における支持力は約90tである。

4. 施工法

掘削は2段ヤンチカット工法を行った。支保工を建込みながら上半断面を7~8m先行し、上半ストラットで上半支保工の脚部を固定した。上半の頭はベルトコンベヤーで下段に落とした。覆工コンクリートはプレーサーによるセミ連続方式で打設した。その後グラウトを行って背面の空隙を充填した。吹付コンクリートは20mmふるいを通過した粗骨材、細骨材、セメント、粘結剤を強制混合ミキサーで混合した後トルクレット(S₃-II型)によって輸送ホース内で圧縮空気と共に高速度で輸送し、先端のノズル部分(全長50cm)で霧状に噴出する水と混合して地山に吹付ける方法で、高速度で吹付けられたコンクリートは、コンクリート自身の粘性や摩擦力によって地山に密着し、2~3分後には、ハンマーでたたいて

ても最早や壊れない程の強度に達する。しかし地山に吹付けられたコンクリートの一部は地山に反発されて跳返る現象が生ずる。これは配合、吹付技術、吹付圧力、吹付角度のほか地山との底の障害物(支保工、矢板等)の有無等非常に多くの要素に敏感に影響され、実際には20%の跳返りが生じた。またこの他に地山が剥離し易い葉片状から成る所では一組吹付けたコンクリートが地山ヒーネに崩落し太折とかまた僅かながら漏水があった前では地山への附着が悪い所等もあつたが、初めて予想してみたよりずっと良好な施工が出来た。

表-1 示方配合及び圧縮強度

項目 種別	骨材最大寸法 mm	セメント量 kg	水量 kg	w/c	s/a	S	G	スラブ厚 cm	空気量	総結粒	潤滑油 kg/m ³	圧縮強度 kg/cm ²
普通養エコンクリート	40	330	155	46.7	33	655 ^{kg}	1323 ^{kg}	13±1	4±1		0.8	240
吹付コンクリート	20	290	145	50	60	930	620			10.800 11.6	11.6	111

図-3、吹付コンクリート施工のフローチャート

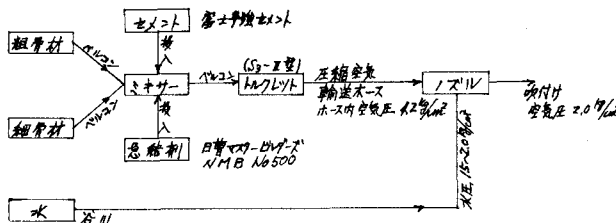


表-2、フレーレット吹付機

項目	Sa-II型
最大処理能力 t/h	4.0
粗骨材最大寸法 mm	15-25
所要空気量 kg/min	8-12
エアーモード IP	3
輸送ホース mm	40-50
送水ホース径 mm	17
供給量 kg	640
最大輸送水平 m	500
距離 距離 m	100

5. 在来工法と吹付工法との試験結果の比較

葉片状蛇紋岩帶に於ける地圧は地山内に坑道を掘削することによって生じたせん断力に対する地山の強度不足からくる塑性的な変形に基づく膨張性地圧である。この傾向は風化により更に地山の強度低下が促進されて地山内部に波及して行くものと考えられる。この地山の塑性的な変形は坑道の内空へ向い、これが支保工覆工地圧となつて作用していくので支保工覆工によって裏面の変位を阻止する場合その度合によつてその後の地圧の発現は影響を受ける。この観点に立つて在來の矢板工法と同一吹付施工区间との試験結果について比較してみた。

1)軸力、曲げモーメントの下半掘削までの増加傾向は在来二重巻工法で

は急激であるが、吹付工法では緩やかである。(図-5,6)(図-9,10)

2)軸力、曲げモーメントが平衡状態に達する時期は在来二重巻工法ではコンクリート打設までであり、吹付工法では約3週間である。(図-5,6)(図-9,10)

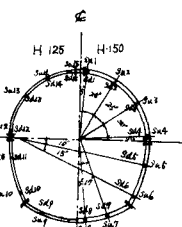
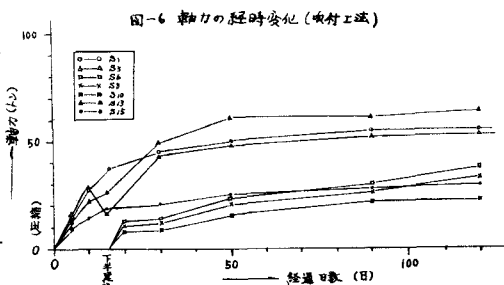
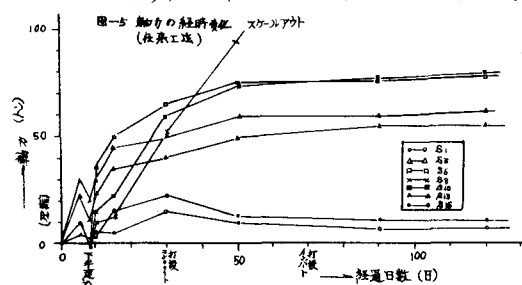


図-4 計測配直

3)軸力の分布状況は、在来二重巻工法では局部的な分布が見られるが、吹付工法ではほぼ一様な分布を示している。(図-7, 8)

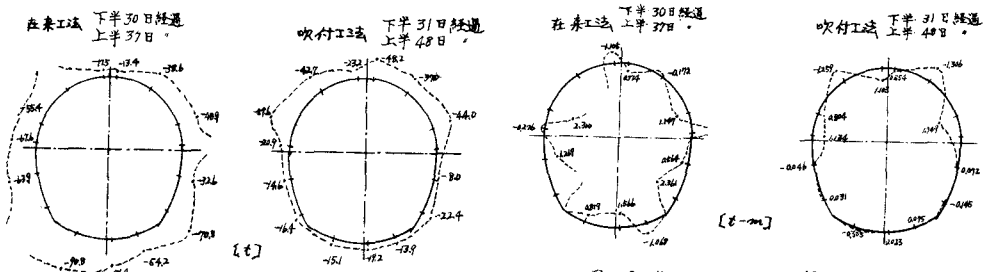


図-8. 曲げモーメントの比較

図-7. 軸力の比較

4)上半軸力の最大値は、在来二重巻工法では50~60tであり、吹付工法では40~50tである。

5)下半軸力の最大値は、在来二重巻工法では70~80t以上であり、吹付工法では10~20tである。

6)曲げモーメントの分布状況は、在来工法では不規則であるが吹付工法では規則的である(図-9,10)

7)上半曲げモーメントの最大値は在来工法では2.5t-m以上、吹付工法では1.0~1.5t-mである。

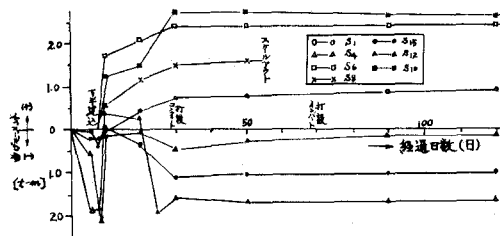


図-9. 曲げモーメントの経時変化(在来工法)

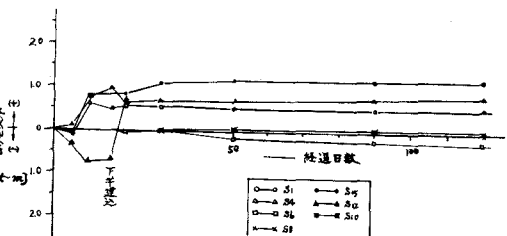


図-10. 曲げモーメントの経時変化(吹付工法)

8)下半曲げモーメントの最大値は在来工法では2.5t-m以上、吹付工法では0~0.5t-mである。

9)下半掘削による解放は吹付工法ではほとんどみられない。

10)支保工の座屈は、在来工法では生じてないが、吹付工法では生じていない。

11)支保工の沈下が終了する時期は、在来二重巻工

法においては下半掘削後も約1週間位にわたる。

で進行するが吹付工法においては、上半掘削後

約10日で沈下が終了する。

下半掘削によると、

生ずる上半支保工の沈下量は、在来二重巻工

法では3~8cmあるが吹付工法では、この種の沈

下は殆んどない。したがって支保工の最終沈下量は前者に比べて16~24cmに及ぶ後者にあ

りては6cm程度しか生じていない。

12)覆工の変状は、在来二重巻工法区間にては覆工厚45cm, 30cmいずれもコンクリート打設後

4~7週間後に側壁部に亀裂が生じて来た(図-12)。吹付コンクリート区間では平均吹付厚

は上半で37.2cm, 下半で29.0cmであるにもかかわらず、施工後より月を経過しても全く亀裂

の発生、崩落等の変状はみられず安定している。

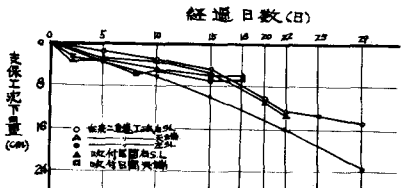


図-11 支保工の沈下量

結局在来の二重巻工法では地圧の一部は矢板間からの地山変位、支保工の地下変形、矢板のたわみ、折損等によって解放されるために、地山の塑性的変形は坑道裏掘面よりかなり内部まで波及し、終局的には支保工、覆工に大きな地圧が作用することになる。吹付工法による場合の顕著な特徴は、吹付コンクリートが地山と相互作用をすることである。すなはち吹付コンクリートで地山に密着させることによって裏掘面附近の地山は、殆ど未損壊の自然状態に保たれるので、或る程度地圧を減じ、周囲の地山を自立するアーチにします。風化作用は常に掘削表面の小さな亀裂から始まる。

もしこの作用を吹付コンクリート層を用いて早期に防いでしまえば、吹付コンクリート背面の地山は安定を保つことになり、終局的に支保工、覆工に作用する地圧を小さくすることが出来ます。

6. 緒論

以上、膨張性地压表示する片状蛇紋岩に対する吹付コンクリートを施設施工した結果について述べたが、施工費については、現場の立地条件、掘削工法に随伴して変るものであり、一概には言えないが、吹付工法を主眼とした、新しい工法を採用することで、充分經濟的に有利立つものがあると考えられ、今後の発展が望まれる。

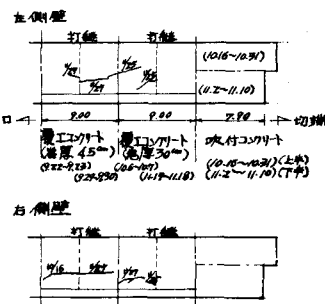


図-12